

---

**НОВЫЕ ТЕХНОЛОГИИ  
В МАШИНОСТРОЕНИИ**

---

УДК 622.245.59

**ВСКРЫТИЕ ПРОДУКТИВНОГО ПЛАСТА В СКВАЖИНЕ СЕТЬЮ  
ПЕРФОРАЦИОННЫХ КАНАЛОВ-ВЛНОВОДОВ**

© 2023 г. Р. Ф. Ганиев<sup>1</sup>, Н. А. Шамов<sup>1,\*</sup>

<sup>1</sup>Институт машиноведения им. А.А. Благонравова РАН, Москва, Россия

\*e-mail: shamov.na@mail.ru

Поступила в редакцию 12.12.2022 г.

После доработки 15.06.2023 г.

Принята к публикации 20.06.2023 г.

Определена зависимость амплитуды давления в волне с накопленной в каналах-волноводах энергией от характеристик горной породы и пластовой жидкости. Представлены технология и устройство вторичного вскрытия продуктивного пласта в скважине путем создания перфорационных каналов-волноводов, устройство спуска фильтра-хвостовика в перфорационные каналы.

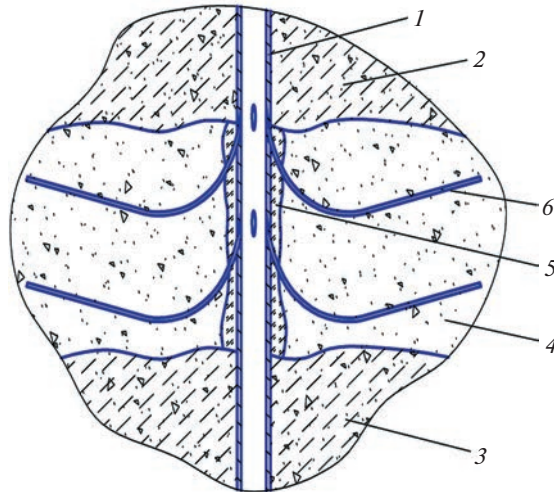
**Ключевые слова:** перфорационные каналы-волноводы с дугообразными стволами, объемная скорость фильтрации, радиус кривизны ствола, перфобур, фильтр-хвостовик, репрессионно-депрессионное волновое устройство

**DOI:** 10.31857/S0235711923050073, **EDN:** XCPCXH

Усложнение и удорожание получения жидкого и газообразного углеводородного сырья в последние годы, сокращение добычи нефти и газа в освоенных районах, возросшие требования к проведению экологических мероприятий делают необходимым существенное повышение качества вторичного вскрытия продуктивных пластов, применения эффективных и недорогих технологий и средств.

Применение же такой технологии, как гидроразрыв пласта, повышает дебит на начальном этапе эксплуатации, но требует значительных затрат, приводит иногда к нарушению герметичности цементного камня и появлению заколонных водогазоперетоков, росту темпа падения дебита, обводненности нефти, усложнению ремонтных работ в призабойной зоне пласта (ПЗП).

Разработка же месторождений с использованием системы горизонтальных стволов скважин бывает не всегда экономически оправданной, такие стволы могут быть дороже вертикальных [1]. В следующих источниках информации [2–5] рассматриваются известные технологии и технические средства, которые используются для создания боковых стволов малого диаметра во внутрипластовых промысловых системах. Так способ радиально-бурильной перфорации [3–5] позволяет создавать каналы глубиной до 2 м в пласт за счет вращения долота диаметром 30 мм гибким полым валом от винтового двигателя, установленного в корпусе перфоратора. Недостатками такой технологии и данных устройств являются небольшие длины создаваемых каналов, низкие прочность гибкого вала и герметичность в составных звеньях, неудовлетворительная производительность бурения. Образованные же гидромониторным размывом [2, 5] с



**Рис. 1.** Схема размещения перфорационных каналов в скважине: 1 – обсадная колонна; 2 – кровля пласта; 3 – его подошва; 4 – пласт; 5 – контур загрязнения ПЗП; 6 – перфорационный канал.

помощью гибких труб длинные каналы имеют стволы с непредсказуемой траекторией, требуют больших расходов и давлений промывочной жидкости.

**Предлагаемые пути решения.** Улучшение фильтрационных характеристик ПЗП предлагается за счет бурения системы длинных многоярусных перфорационных каналов малого диаметра (рис. 1), в которых возможно возникновение нелинейных волновых процессов. Бурение таких каналов в качестве волноводов-резонаторов, позволит улучшить акустические свойства ПЗП, окажет интенсивное воздействие на глубинные области пласта, повысит продуктивность скважин. Под научным руководством академика РАН Р.Ф. Ганиева еще в начале 2000-х годов были разработаны технологии и оборудование для бурения перфорационных каналов (перфобура). Проведены успешные экспериментально-стендовые исследования. Практическая и научная ценность работы подтверждена соответствующими патентами, публикациями в научно-технических изданиях и защищенными диссертациями, в том числе исследователями и специалистами [7–11] из других организаций и фирм.

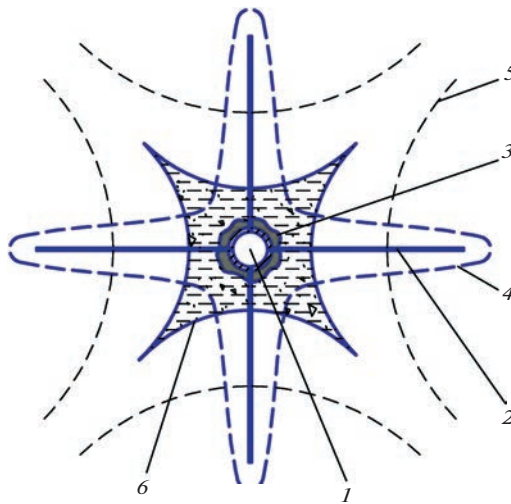
Дебит нефтяного пласта, вскрытого длинноствольными каналами, можно приближенно оценить по формуле [1] для многозабойных скважин (рис. 1).

Объемная скорость фильтрации многоствольных перфорационных каналов

$$Q_f = \frac{2\pi n^{0.75} k_0 (P_1 - P_c)}{\mu_c \left[ \frac{1}{2A_l} \ln \frac{n_y + 1}{n_y} \left( \frac{h_n}{B_l + A_l} + 2 \left( \frac{B_l^2 - A_l^2}{h_n} \right) \right) + \frac{1}{h_n} \ln \frac{R_l}{R_2 + \frac{h_n}{2(n_y + 1)} + L_{pk} - l_{kb}} \right]},$$

где

$$A_l = \sqrt{\frac{[\pi D_{pk} + 2(L_{pk} - l_{kb})]^2}{8} - \frac{D_{pk}^2}{8} + \frac{D_{pk}(L_{pk} - l_{kb})}{2}}, \quad B_l = \frac{\pi D_{pk} + 2(L_{pk} - l_{kb})}{8},$$



**Рис. 2.** Схема притока к скважине к 4-м длинными каналами: 1 – ствол скважины; 2 – радиальные стволы; 3 – контур загрязнения; 4 – изобарическая линия; 5 – линии тока пластового продукта; 6 – контур зоны залегания остаточной нефти вокруг скважины.

где  $n$  – количество каналов;  $n_y$  – количество уровней (ярусов) радиальных стволов;  $D_{pk}$  – диаметр ствола перфорационного канала;  $L_{pk}$  – радиальная длина ствola (отход) канала;  $l_{kb}$  – глубина контура блокирования ПЗП твердеющим составом;  $P_1$  – пластовое давление;  $P_2$  – давление в скважине на забое;  $k_0$  – исходная проницаемость породы;  $\mu_c$  – динамическая вязкость пластовой среды;  $h_n$  – толщина продуктивного пласта;  $R_1$  – радиус контура питания скважины;  $R_2$  – радиус ствола скважины.

Рассмотрим на численном примере степень влияния количества и длины стволов каналов одного яруса. Исходные данные:  $P_1 = 20$  МПа,  $P_2 = 15$  МПа,  $h_n = 10$  м,  $\mu_c = 9$  мПа с,  $D_{pk} = 0.056$  м,  $k_0 = 0.018$  мкм<sup>2</sup>,  $R_1 = 500$  м,  $R_2 = 0.106$  м,  $l_c = 0.3$  м. В первом случае рассмотрены четыре канала длиной по 30 м (рис. 2).

Во втором – восемь каналов длиной по 30 м, в третьем – восемь каналов длиной по 15 м (рис. 3).

Получены следующие расчетные значения дебитов:

$$Q_{f1} \approx 0.574 \times 10^{-3} \text{ м}^3/\text{с}, \quad Q_{f2} \approx 1.092 \times 10^{-3} \text{ м}^3/\text{с}, \quad Q_{f3} \approx 0.866 \times 10^{-3} \text{ м}^3/\text{с}.$$

Отсюда следует, что не только дебит скважины больше, но и площадь залегания остаточного пластового продукта ожидаемо меньше у многоствольной системы, а создание многоярусных перфорационных стволов оптимальной длины может быть гораздо эффективнее, чем более длинных, но при меньшем количестве и той же суммарной длине каналов.

На рис. 4 представлена схема бурения каналов перфобуром в скважине. На ней изображены трубный толкатель 1, секции перфобура 2, клин-отклонитель 3, гибкая труба 4, статор 5 винтового забойного двигателя (ВЗД), шпиндель двигателя 6, долото 7, поворотно-разъединительный узел 8, якорь 9, желобная емкость 10, подъемник 11, насосный агрегат 12, техническая колонна труб 13, обсадная колонна 14, перфорационный канал 15, нефтяной пласт 16.

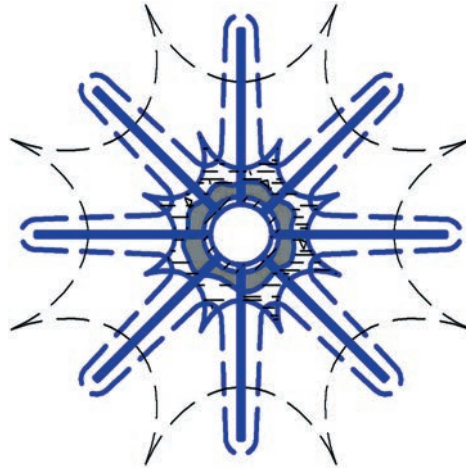


Рис. 3. Схема притока к скважине с 8-ю короткими каналами.

Угол искривления ВЗД определен из следующей зависимости:

$$\alpha_k = \arcsin \left[ \frac{L_{st}}{2(R_k + 0.5d_d)} + \frac{L_{sp}}{\zeta_n R_k + 0.5d_d} \right],$$

где  $L_{sp}$  – длина шпинделя от места искривления ВЗД до конца долота;  $\zeta_n$  – поправочный коэффициент на разницу форм осевых линий (прямолинейной у шпинделя с долотом и криволинейной у ствола перфорационного канала).

При проектировании перфобура была оценена расчетным и графическим путем возможность получения перфорационных каналов с наименьшим радиусом кривизны ствола при заданных длинах и диаметрах статора винтового забойного двигателя (ВЗД), его шпинделя и долота. Радиус кривизны канала (рис. 5) определяли по формуле

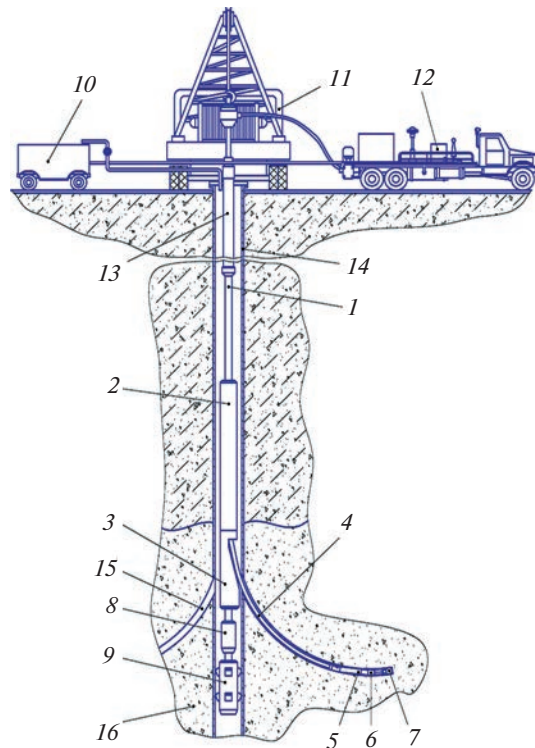
$$R_k \geq \frac{L_{st}^2}{8(d_d - D_{st})} - 0.5D_{st},$$

где  $L_{st}$  – длина статора двигателя до места искривления ВЗД;  $d_d$  – диаметр долота;  $D_{st}$  – наружный диаметр статора двигателя.

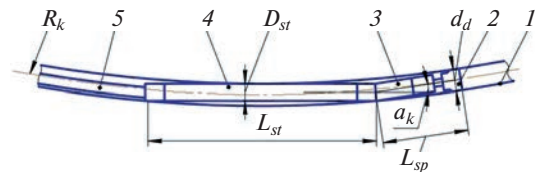
Наименьший радиус кривизны ствола перфорационного канала при исходных данных:  $L_{st} = 0.6$  м,  $D_{st} = 0.043$  м,  $d_d = 0.056$  м,  $L_{sp} = 0.225$  м,  $\zeta_n = 1.03$ , составил  $R_k = 3.5$  м, максимальный угол искривления шпинделя ВЗД  $\alpha_k = 8^\circ 28'$ .

При использовании перфорационных каналов в качестве волноводов можно существенно снизить [6, 12] в ПЗП, загрязненной технологическими отложениями, потери энергии волнового поля, создаваемого, например, устройством, в которое включен генератор волн давления роторно-пульсационного типа (рис. 6). Этот процесс будет происходить до тех пор, пока часть проходящей в пласт по скелету горной породы и ее порового пространства волновой энергии не вырастет до значений поступающей в перфорационный канал энергии вынужденных колебаний. Для этого необходимо соблюсти соотношение длины каналов к длине полуволны давления

$$l = n \frac{\lambda_n}{2} = n \frac{c_{zh}}{2f_n},$$



**Рис. 4.** Схема бурения глубоких перфорационных каналов перфобуром.



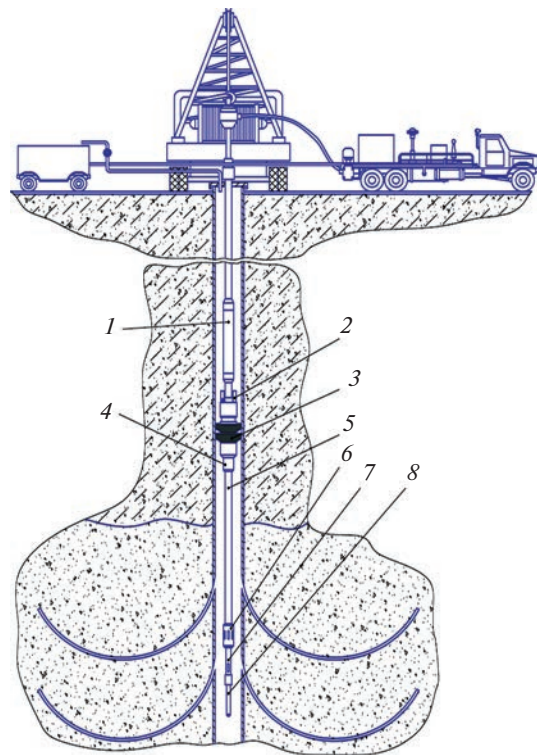
**Рис. 5.** Определение радиуса кривизны ствола и угла искривления ВЗД: 1 – ствол канала; 2 – долото; 3 – шпиндель; 4 – статор; 5 – гибкая труба.

где  $\lambda_n$  – длина волны наиболее низкочастотного колебания давления с наибольшей амплитудой;  $c_{zh}$  – скорость распространения волны в жидкости;  $f_n$  – наименьшая частота в спектре создаваемых генератором колебаний рабочих частот;  $n$  – ряд целых чисел ( $1, 2, 3, \dots$ ).

Отсюда, интенсивность волновой энергии  $I_g$ , передаваемой в канал-волновод от размещенного в скважине генератора колебаний давления, будет описываться зависимостью

$$I_g = I_n + I_{nc}, \quad (1)$$

где  $I_n$  – интенсивность волновой энергии, прошедшей в скелет горной породы;  $I_{nc}$  – интенсивность волновой энергии, прошедшей в гидросреду порового пространства.



**Рис. 6.** Схема репрессионно-депрессионной волновой обработки: 1 – привод ротора генератора; 2 – струйный насос; 3 – пакер; 4 – генератор; 5 – его волновод; 6 – излучатель; 7 – автономный термоманометр; 8 – автономный регистратор волн давления.

После преобразования выражение (1) примет вид

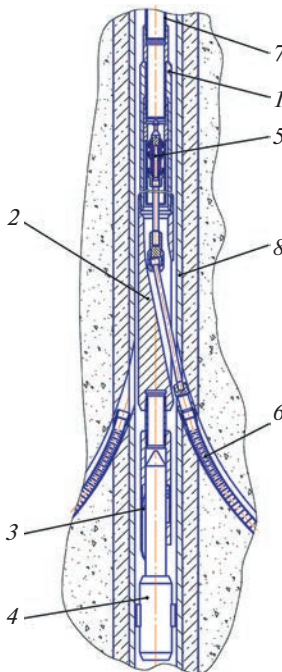
$$\frac{p_{0v}^2 e^{-2\beta l}}{2\rho_{zh}c_{zh}} = p_{0p}^2 \left[ \frac{2\rho_{zp}c_{zp}(1-m_n)}{(\rho_{zp}c_{zp} + \rho_{zh}c_{zh})^2} + \frac{0.33m_n}{2\rho_{zh}c_{zh}} \right],$$

где  $p_{0v}$  – амплитуда давления на входе в канал-волновод;  $\beta$  – коэффициент затухания волны при рассеивании ее энергии в канале;  $\rho_{zh}$  – плотность пластовой жидкости;  $\rho_{zp}$  – плотность скелета горной породы;  $c_{zp}$  – скорость звука в ней;  $m_n$  – коэффициент эффективной пористости породы.

Отсюда, амплитуда колебания давления в волне с накопленной в перфорационном канале-волноводе энергией определится из соотношения

$$p_{0p} = \frac{p_{0v}e^{-\beta l}(\rho_{zp}c_{zp} + \rho_{zh}c_{zh})}{\sqrt{4\rho_{zh}c_{zh}\rho_{zp}c_{zp}(1-m_n) + (\rho_{zp}c_{zp} + \rho_{zh}c_{zh})^2 m_n}}.$$

Энергия волнового поля, переданная через перфорационные каналы-волноводы многоствольной многоярусной системы в скелет горной породы и ее поровые каналы продуктивной среде, например тяжелой высоковязкой нефти, будет частично расходоваться на работу по снижению ее вязкости и преодолению напряжения сдвига. Пе-



**Рис. 7.** Схема спуска фильтра-хвостовика в перфорационный канал: 1 – корпус устройства; 2 – клин-отключитель; 3 – поворотно-соединительный узел; 4 – якорь; 5 – спусковой модуль; 6 – фильтр-хвостовик; 7 – техническая колонна; 8 – обсадная колонна.

риод релаксации такой нефти существенно снизится, сопротивление ее течению в проницаемой породе ПЗП уменьшится.

В нагнетательной скважине передаваемая через перфорационные каналы энергия вынужденных колебаний, будет способствовать созданию на границе контактов вытесняющей жидкости с нефтью оторочек из высоковязких водонефтяных эмульсий, которые будут препятствовать свободному “проскальзыванию” и прорывам вытесняющей жидкости по избыточно дренированной в процессе эксплуатации пласта горной породе к добывающим скважинам. В то же время волны, проходящие через перфорационные каналы-волноводы в застойные зоны пласта, будут содействовать полезному изменению реологических характеристик нефти, выравниванию профиля ее притока. В случае угрозы осыпания горной породы в перфорационных каналах в процессе эксплуатации скважины можно обеспечить обсаживание стволов каналов фильтрами-хвостовиками (рис. 7), техника и технология для их установки также разработана в Институте машиноведения РАН и запатентована.

Известно [13], что при движении высоковязкой нефти в неоднородной пористой среде увеличение вязкости вытесняющей жидкости за счет создания водонефтяной оторочки, более ощутимо оказывается на снижении скорости вытеснения в зонах повышенной проницаемости, где скорость течения нефти заметно выше, чем в низко-проницаемых участках пласта. Все это также приводит к выравниванию профиля притока и, в целом, к увеличению коэффициента вытеснения.

**Таблица 1.** Основные параметры и результаты бурения каналов

| Объект бурения | Двигатель, долото   | Промывочная жидкость | Осевая нагрузка, кН | Давление на насосе, МПа | Расход на ВЗД, л/с | Скорость бурения, м/ч |
|----------------|---------------------|----------------------|---------------------|-------------------------|--------------------|-----------------------|
| Блок ЦПГ       | 2Д-43.50, ДРС-56.01 | “Укродиз”            | 1.2–1.6             | 3.0–3.5                 | 0.6–0.7            | 5.5–6.0               |
| Блок ЦПГ       | 1Д-43.98 ДРС-56.01  | “Укродиз”            | 1.8–2.2             | 4.0–5.0                 | 0.6–0.7            | 6.5–7.0               |
| Блок ЦПГ       | 1Д-43.98 ДИ-56.02   | “ОП-МТМ”             | 2.0–2.4             | 5.0–6.0                 | 0.6–0.7            | 6.0–7.0               |
| Блок ЦПГ       | 1Д-43.98 ДРС-56.03  | “ОП-МТМ”             | 2.0–3.0             | 6.0–7.0                 | 0.7–0.8            | 11.0–13.0             |
| Труба в блоке  | 1Д-43.98 ДИ-56.02   | “ОП-МТМ”             | 2.4–3.2             | 6.0–7.0                 | 0.7–0.8            | 0.5                   |
| Труба в блоке  | 1Д-43.98 ДРС-56.03  | “ОП-МТМ”             | 2.4–3.2             | 6.0–7.0                 | 0.7–0.8            | 0.35                  |
| Блок ЦПГ*      | 1Д-43.98 ДРС-56.03  | “ОП-МТМ”             | 2.4–3.2             | 6.0–7.0                 | 0.7–0.8            | 10.0–11.0             |

\*При бурении бокового ответвления от основного ствола канала.

**Исследования процессов бурения каналов на стенде.** Результаты экспериментов приведены в табл. 1.

Стенд состоял из приподнятой над полом платформы с блоком цементно-песчано-гравийным (ЦПГ) и резервуаром для промывочной жидкости. В качестве промывочной жидкости хорошо зарекомендовал себя буровой раствор с условным названием “ОП-МТМ” на слабоминерализованной водной основе плотностью 1020 кг/м<sup>3</sup> с добавками ПАВ ОП-10 и смазки для буровых растворов МТМ-1М с объемной концентрацией 0.3% каждая.

**Области применения технологии глубокой перфорации:** 1) реанимация скважин с низким дебитом; 2) интенсификация процесса добычи аномально-высоковязких разновидностей нефти; 3) увеличение приемистости нагнетательных скважин.

Развитие технологии и технических средств по глубокой перфорации ПЗП будет идти по следующим направлениям: 1) бурение пилотных стволов каналов-волноводов и ответвлений; 2) отбор образцов породы из глубинных участков ПЗП для проведения геофизических исследований ее состояния; 3) вызов притока пластового продукта из каждого канала-волновода по отдельности и исследование их гидродинамической связи с пластом.

**Заключение.** 1. Разработаны и в основном исследованы на экспериментальном стенде технология и техника бурения каналов-волноводов в продуктивном пласте. 2. Установлены зависимости объемной скорости фильтрации пластового продукта от его свойств, характеристик породы, а также от параметров, количества и размеров каналов. 3. Приведен расчет радиуса кривизны ствола перфорационного канала и угла искривления забойного двигателя от размеров его и долота. 4. Спрогнозировано повышение эффективности фильтрационных процессов после вскрытия пласта перфорационными каналами-волноводами в зависимости от их количества, и в меньшей степени от длины при равной общей суммарной протяженности каналов-волноводов. 5. Определена зависимость амплитуды давления в волне с накопленной в каналах-волноводах энергией от характеристик горной породы и пластового продукта. 6. Ожидаемые преимущества предлагаемой технологии: 1) улучшение связи скважины с пластом и повышение ее дебита; 2) снижение риска возникновения межпластовых перетоков; 3) прохождение склонных к обвалам породы в ПЗП более устойчивыми нисхо-

дящими участками стволов дугообразных перфорационных каналов; 4) вскрытие нисходящими и восходящими участками каналов нескольких продуктивных пластков.

### КОНФЛИКТ ИНТЕРЕСОВ

Авторы заявляют об отсутствии конфликта интересов.

### СПИСОК ЛИТЕРАТУРЫ

1. *Бердин Т.Г.* Проектирование разработки нефтегазовых месторождений системами горизонтальных скважин. М.: ООО “Недра-Бизнесцентр”, 2001. 199 с.
2. *Близнюков В.Ю., Повалихин А.С.* Технологические схемы бурения систем горизонтальных стволов в пласте высоковязкой нефти // Строительство нефтяных и газовых скважин на суше и на море. 2011. № 10. С. 10.
3. *Распопов А.В., Кондратьев С.А., Новокрещеных Д.В.* Влияние геолого-физических условий на эффективность бурения радиальных каналов около скважинную зону пласта // Нефтяное хозяйство. 2012. № 3. С. 78.
4. *Guo R., Li G., Huang Z.* Theoretical and experimental study of the pulling force of jet bits in radial drilling technology // Pet. Sci. 2009. № 6. P. 395.
5. *Dickinson W., Dykstra H., Nees J.M.* The Ultrashort Radius Radial System Applied to Thermal Recovery of Heavy Oil // SPE. 1992. № 24087. P. 583.
6. *Ганиев Р.Ф., Украинский Л.Е.* Нелинейная волновая механика и технология. Волновые и колебательные явления в основе высоких технологий. 2-е изд., дополн. М.: Институт компьютерных исследований; Научно-издательский центр “Регулярная и хаотическая динамика”, 2011. 780 с.
7. *Lyagov I.A., Vasilev N.I., Reich M., Mezzetti M.* Analytical research and experimental tests on the technology for drilling small diameter channels with small radius of curvature // Oil Gas European Magazine. 2014. V. 40. Iss. 3. P. 124.
8. *Reich M.* Auf krummen Touren durch den Untergrund – ein Exkurs in die Welt der Richtbohrtechnik. Veröffentlichung in „Erdöl, Erdgas, Kohle“, Januar 2011. 6 p.
9. *Lyagov I.A.* Bottomhole Formation Zone Completion through Ultra Deep Multibranch hannels: Experimental Research of a New Technology // Mine planning and equipment selection: Proc. of the 22nd MPES Conf. Dresden, Germany. Oct. 14–19. Springer, 2014. P. 1221.
10. *Лягов И.А.* Обоснование и разработка технологии вторичного вскрытия продуктивных пластов разветвленными скважинами сверхмалого диаметра: Автореф. дис. ... канд. техн. наук. СПб.: Нац. минерально-сырьевой ун-т “Горный”, 2014. 20 с.
11. *Лягов И.А., Лягов А.В., Шайдаков В.В. и др.* Техническая система “Перфобур” для вторично-го вскрытия продуктивного пласта // Строительство нефтяных и газовых скважин на суше и на море. 2022. № 2 (350). С. 47.
12. *Кузнецов О.В., Ефимова С.А., Жуков Ю.Ф. и др.* Акустическое воздействие на призабойную зону пласта // Нефтяное хозяйство. 1987. № 3. С. 34.
13. *Аметов И.М., Байдаков Ю.Н., Рузин Л.М., Спиридонос Ю.А.* Добыча тяжелых и высоковязких нефteй. М.: Недра, 1985. 205 с.